

مقاله پژوهشی

مجله دانشگاه علوم پزشکی رفسنجان
دوره ۱۸، اردیبهشت ۱۳۹۸، ۱۹۲-۱۷۷

بررسی بیوانفورماتیکی تأثیر ترکیبات گیاهی موجود در گیاهان دارویی *Ferulago angulat*، *Scrophularia striata* و *Laurus nobilis* در مهار پروتئین‌های مؤثر در بروز مقاومت آنتی‌بیوتیکی در استافیلوکوکوس اورئوس: یک مطالعه توصیفی

زینب شاکران^۱، زهرا شاکران^۲، مختار نصرتی^۳

دریافت مقاله: ۹۷/۴/۱۷ ارسال مقاله به نویسنده جهت اصلاح: ۹۷/۷/۳۰ دریافت اصلاحیه از نویسنده: ۹۷/۱۰/۱۱ پذیرش مقاله: ۹۷/۱۰/۱۲

چکیده

زمینه و هدف: اخیراً عفونت‌های ناشی از استافیلوکوکوس اورئوس (*Staphylococcus aureus*; *S. aureus*) و ایجاد جدایه‌های مقاوم به آنتی‌بیوتیک‌ها افزایش یافته است. بنابراین مطالعات فراوانی به منظور معرفی ترکیبات جدید با فعالیت ضد *S. aureus*، به‌ویژه ترکیباتی با منشأ طبیعی جهت مقابله با گونه‌های مقاوم به آنتی‌بیوتیک انجام گرفته است. هدف از این مطالعه تعیین غربال‌گری بیوانفورماتیکی مهارکننده‌های نوین پروتئین‌های مرتبط با بروز مقاومت آنتی‌بیوتیکی موجود در گیاهان دارویی بود.

مواد و روش‌ها: در این مطالعه توصیفی، ابتدا ساختار سه بعدی ترکیبات فیتوشیمیایی موجود در سه گیاه دارویی *Ferulago angulat*، *Scrophularia striata* و *Laurus nobilis* از پایگاه داده PubChem دریافت شد. سپس ساختار سه بعدی چهار پروتئین مرتبط با بروز مقاومت آنتی‌بیوتیکی شامل β -lactamase، پروتئین متصل شونده به پنی‌سیلین ۲a (PBP2a)، ونکومایسین A (VanA) و D-آلانیل-D-آلانین دی‌پپتیداز (VanX) به کمک پایگاه داده‌های پروتئین به دست آمد. در نهایت، توانایی ترکیبات شیمیایی انتخاب شده جهت مهار پروتئین‌های مرتبط با مقاومت آنتی‌بیوتیکی مذکور با استفاده از روش داکینگ مولکولی به‌وسیله نرم‌افزار ۱. ۲ iGemdock بررسی شد.

یافته‌ها: نتایج نشان داد که اکثر ترکیبات مورد بررسی، برهمکنش‌های مناسبی با تمامی پروتئین‌های مورد مطالعه به ویژه VanX دارند. نتایج هم‌چنین نشان داد که دو ترکیب Bis(۲-ethylhexyl) Phthalate و Palmitic acid قوی‌ترین برهمکنش‌ها را با تمامی پروتئین‌های مورد بررسی دارند.

نتیجه‌گیری: نتایج این مطالعه نشان داد که دو ترکیب Bis(۲-ethylhexyl) Phthalate و Palmitic acid موجود در گیاهان دارویی بررسی شده کاندیدهای مناسبی برای مطالعات برون‌تنی و درون‌تنی مرتبط با فعالیت ضد *S. aureus* مقاوم به آنتی‌بیوتیک می‌باشند.

واژه‌های کلیدی: استافیلوکوکوس اورئوس، مقاومت آنتی‌بیوتیکی، گیاهان دارویی، بیوانفورماتیک

۱- دانشجوی کارشناسی ارشد بیوشیمی، گروه زیست‌شناسی، دانشکده علوم، دانشگاه اصفهان، اصفهان، ایران

۲- دانشجوی دکتری نانویوتکنولوژی، گروه بیوتکنولوژی، دانشکده علوم و فناوری‌های نوین، دانشگاه اصفهان، اصفهان، ایران

۳- (نویسنده مسئول) دانشجوی دکتری نانویوتکنولوژی، گروه بیوتکنولوژی، دانشکده علوم و فناوری‌های نوین، دانشگاه اصفهان، اصفهان، ایران

تلفن: ۰۳۱-۳۳۴۴۸۳۵، دورنگار: ۰۳۱-۳۳۴۴۸۳۵، پست الکترونیکی: Mokhtar.nosrati@ast.ui.ac.ir

مقدمه

بیش از سی سال پیش استافیلوکوکوس اورئوس (*Staphylococcus aureus*; *S. aureus*) به عنوان یک عامل بیماری‌زای خطرناک و فراگیر در انسان معرفی شد. این باکتری به‌عنوان یک باکتری گرم مثبت بوده و درمان عفونت‌های ناشی از باکتری مذکور به‌دلیل ظهور سویه‌های مقاوم به آنتی‌بیوتیک‌ها بسیار دشوار است [۱].

از اواسط قرن بیستم تاکنون علیرغم استفاده از داروهای مختلف جهت درمان بیماری‌های ناشی از این باکتری، ایجاد مقاومت دارویی یکی از مهم‌ترین عوامل بازدارنده بوده است [۲]. در اوایل دهه ۱۹۴۰، پنی‌سیلین به‌طور گسترده جهت درمان بیماری‌های وابسته به استافیلوکوکوس اورئوس مورد استفاده قرار گرفت. با این وجود، سویه‌های تولیدکننده پنی‌سیلیناز، با نام سویه‌های مقاوم به پنی‌سیلین (*Penicillin-Resistant S. aureus*; PRSA) به پنی‌سیلین مقاومت نشان دادند [۳]. پس از آن در اوایل دهه ۱۹۶۰، متی‌سیلین جهت مقابله‌ی مؤثر با سویه‌های تولیدکننده پنی‌سیلیناز تولید شد [۴]. با این حال این باکتری به سرعت و در مدت زمان کوتاهی نسبت به این آنتی‌بیوتیک‌ها مقاومت کسب کرد و موجب بروز سویه‌های مقاوم به متی‌سیلین (*Methicillin-Resistant S. aureus*; MRSA) شد [۴]. اندکی پس از ظهور MRSA، نقش آنتی‌بیوتیک گلیکوپپتیدی ونکومایسین در درمان عفونت‌های ناشی از این سویه تأیید شد. با این حال جدایه‌های کلینیکی *S. aureus*

حساسیت کاهش یافته نسبت به ونکومایسین و حتی مقاومت کامل به ونکومایسین ظهور یافته است [۵]. مقاومت *S. aureus* به بیشتر آنتی‌بیوتیک‌های اولیه مانند متی‌سیلین و ونکومایسین غالباً به‌دلیل کسب DNA انتقالی از دیگر میکروارگانیسم‌ها است [۶]. مقاومت درون ژنی، در حال حاضر یکی از مهم‌ترین نقش‌ها را در موارد کلینیکی و در مقاومت‌های آنتی‌بیوتیکی مانند مقاومت به فلوروکوئینولون، ونکومایسین و داپتومایسین دارد [۷-۶].

مطابق با مطالعات صورت گرفته، مقاومت به پنی‌سیلین به‌دلیل وجود یک آنزیم خارج سلولی به‌نام بتالاکتاماز (β -lactamase) می‌باشد. بتالاکتاماز سبب هیدرولیز باندهای آمیدی حلقه‌های بتالاکتام پنی‌سیلین و آمپی‌سیلین می‌شود [۸]. مقاومت به متی‌سیلین به علت تولید پروتئین متصل شونده به پروتئین 2a، (*Penicillin-Binding Protein 2a*; PBP2a) در باکتری *S. aureus* می‌باشد که دارای تمایل ضعیفی به پنی‌سیلین و به‌طور عمده بتالاکتام‌هاست و در نتیجه سبب بوجود آمدن سویه‌های MRSA حاصل می‌شود [۹]. باکتری *S. aureus* مقاوم به ونکومایسین (VRSA) قادر به تولید پیش‌سازهای پپتیدوگلیکان اصلاح شده می‌باشد که این پیش‌ساز تمایل بسیار پایین‌تری به ونکومایسین دارد و سبب مقاومت باکتری می‌شود [۱۰]. دو پروتئین D-alanyl-D-lacate ligase (*Vancomycin A*; VanA) و D₃D₂ dipeptidase (*Vancomycin X*; VanX) نقش مهمی در ایجاد مقاومت باکتری *S. aureus* به ونکومایسین دارند [۵].

توجه قرار گرفته‌اند [۱۴]. روش‌های مذکور امکان پیش‌بینی برهمکنش‌ها، ناحیه برهم‌کنش، گروه‌های عاملی درگیر در میان‌کنش دارو-هدف، سمیت احتمالی و نیز خصوصیات فیزیکوشیمیایی ترکیبات مورد آزمون را در مدت زمان کوتاه و با دقت بالایی فراهم می‌کنند. [۱۴-۱۵]. ضرورت مطالعه حاضر بر روی باکتری *S. aureus*، ناشی از بیماری‌زایی خطرناک و گسترده این باکتری در انسان و هم‌چنین مقاوم شدن آن به درمان‌های آنتی‌بیوتیکی می‌باشد. علاوه بر این، سه گیاه دارویی *Ferulago angulata*، *Scrophularia striata*، *Laurus nobilis*، گیاهان بومی ایران بوده و تأثیرات ضدباکتریایی آن‌ها، بویژه بر روی باکتری *S. aureus*، در پژوهش‌های آزمایشگاهی مورد تأیید واقع شده است [۱۷-۱۶]. با غربالگری ترکیبات اصلی گیاهی درگیر در فرآیند مهار پروتئین‌های مسئول در بروز مقاومت آنتی‌بیوتیکی از بین سایر ترکیبات گیاهان مورد مطالعه، می‌توان از آن ترکیبات به صورت خالص شده در پژوهش‌های تجربی بهره برد. بنابراین هدف از این مطالعه، بررسی بیوانفورماتیکی تأثیر ترکیبات موجود در گیاهان دارویی *Ferulago angulata*، *Scrophularia striata* و *Laurus nobilis* در مهار پروتئین‌های مؤثر در بروز مقاومت آنتی‌بیوتیکی در استافیلوکوکوس اورئوس می‌باشد.

مواد و روش‌ها

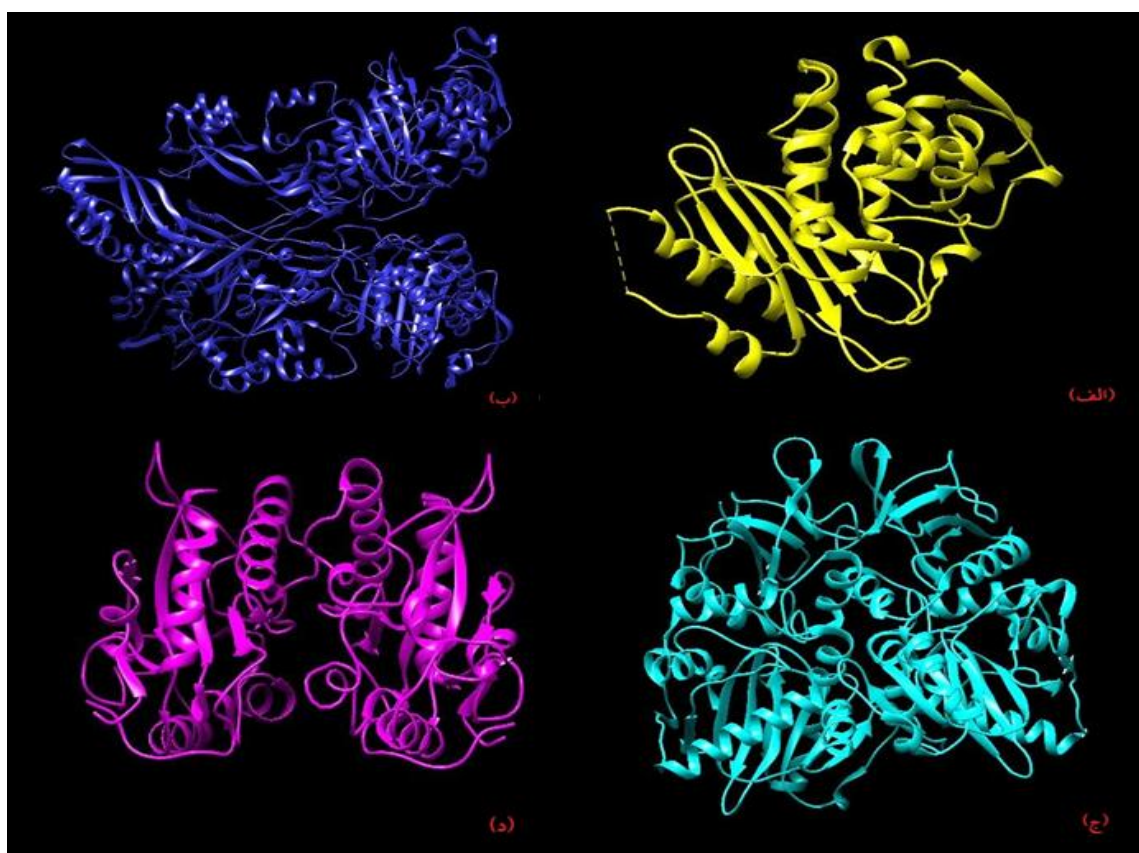
مطالعه حاضر به شیوه توصیفی انجام شد. در این پژوهش اثر مهار ترکیبات فیتوشیمیایی سه گونه گیاهی

از طرف دیگر، ظهور سریع سویه‌های *S. aureus* با مقاومت بالا نسبت به آنتی‌بیوتیک‌ها سبب ایجاد نگرانی‌هایی در ارتباط با کنترل و درمان دشوار بیماری‌های ناشی از آن بوسیله آنتی‌بیوتیک‌ها شده است. بنابراین ایجاد مقاومت به چنین داروهایی افزون بر تأثیرات سنتتیک و شیمیایی آن‌ها موجب شده است که در سال‌های اخیر پژوهش‌های فراوانی به منظور معرفی ترکیبات آنتی‌بیوتیکی نوین به‌ویژه ترکیباتی با منشأ طبیعی انجام گیرد. در این بین ترکیبات گیاهی به دلیل مزیت‌های فراوانی مانند در دسترس بودن، تنوع بالا، منابع فراوان و ارزان بودن و اثرات جانبی کم نسبت به داروهای شیمیایی بسیار مورد توجه قرار گرفته‌اند [۱۱]. در پژوهشی اثر ضد باکتریایی عصاره گیاه *Laurus nobilis* در از بین بردن سویه‌های بالینی مقاوم به متی‌سیلین *S. aureus* تأیید شد [۱۲].

در مطالعه‌ای دیگر، تأثیر ترکیبات گیاهی مختلف بر روی *S. aureus* های مقاوم به متی‌سیلین انجام گرفته است که هدف آن یافتن ترکیبات جدید فیتوشیمیایی جهت مبارزه با این باکتری می‌باشد [۱۳]. تجزیه و تحلیل اثربخشی طیف وسیعی از ترکیبات گیاهی به منظور دستیابی به آنتی‌بیوتیک‌های ایمن و جدید به طریق آزمایشگاهی زمان‌بر و نیازمند هزینه زیادی است. بنابراین طی سال‌های اخیر پژوهش‌های مبتنی بر روش‌های بیوانفورماتیکی به علت صرفه جویی در زمان و هزینه به عنوان روش‌هایی مکمل در طراحی داروهای جدید از جمله ترکیبات آنتی‌بیوتیکی مورد

استخراج شد و سپس ساختار سه بعدی لیگاند‌های مورد نظر از همین پایگاه در فرمت sdf دریافت شد. همچنین ساختار سه بعدی چهار پروتئین مورد مطالعه به ترتیب با شماره‌های دسترسی ۱ALQ، ۱VQQ، ۱E۴E و ۱R۴۴ نیز از پایگاه داده‌های پروتئین به آدرس www.rcsb.org به دست آمد (تصویر الف-د).

L. nobilis، *S. striata*، *F. angulata* بر چهار پروتئین مهم و مؤثر در بروز مقاومت آنتی بیوتیکی در *S. aureus* شامل: پروتئین‌های β -lactamase، PBP۲a، VanA و VanX مورد مطالعه قرار گرفت. ترکیبات این سه گیاه همراه با کد دسترسی و فرمول مولکولی آن از پایگاه داده‌های ترکیبات شیمیایی به آدرس www.pubchem.ncbi.nlm.nih.gov



تصویر ۱. چهار پروتئین مؤثر در بروز مقاومت آنتی بیوتیکی در *S. aureus* (الف: β -lactamase، ب: PBP۲a، ج: VanA، د: VanX)

جدول ۱. ترکیبات گیاهی مورد بررسی جهت غربالگری مهارکننده‌های پروتئین‌های مؤثر در بروز مقاومت آنتی‌بیوتیکی در باکتری *S. aureus*

نام ترکیب	گونه گیاهی
α -Pinene, Bornyl acetate, Gamma-Terpinene, Germacrene D, Myrcene, P-cymene, Allo ocimene, β -Ocimene, Borneol, Bornyl acetate, Camphene, Limonene, Methyl carvacrol, Sabinene, Spathulenol, Spathulenol, Terpinolene, Transe verbenol, Verbenene, α -phellandrene, β -pinene,	Ferulago angulate
1,3-dimethyl-benzene, 1-Pentadecanol, 2-Ethylbutanal, 3-methyl 2-heptanol, Bis (2-ethylhexyl) Phthalate, DI-N-Octyl phthalate, Ethyl palmitate, Ricinoleic acid, Tridecan 2-amine	Scrophularia striata
1,8-cineole, α -Phellandrene, α -Pinene, α -Terpinene, α -Terpineol, β -pinene, β -Elemene, Borneol, Camphene, -Camphor, Costunolide, Eugenol, Gamma-Terpinene, Germacrene D 4-ol, Limonene, Linalool, Myrcene, Reynosin, Sabinene, Santamarine, Zaluzanin D	Laurus nobilis

* ترکیبات فیتوشیمیایی، مربوط به سه گونه‌ی گیاهی *Ferulago angulate*، *Scrophularia striata* و *Laurus nobilis* بوده که هر سه بومی ایران می‌باشند. همچنین می‌توان ترکیبات فیتوشیمیایی مشابه را در بین گونه‌های مذکور مشاهده نمود.

CytochromeP ۴۵۰۱A۲، (CYP۲C۹) CytochromeP (CYP۱A۲)، CytochromeP ۴۵۰۲C۱۹ نیز به عنوان قابلیت سمیت ژنتیکی و سلولی به ترتیب با استفاده از نرم‌افزار Toxtree 2.6 و SwissADME مورد بررسی قرار گرفتند. سپس تمامی ترکیبات گیاهی و پروتئین‌ها جهت بررسی برهم‌کنش‌ها در پایدارترین حالت از لحاظ انرژی و ساختار و جلوگیری از ایجاد نتایج مثبت و منفی کاذب با استفاده از نرم‌افزار Chimera5 بهینه‌سازی شدند. از آنجایی که امروزه بهره‌گیری از ابزارهای سریع و محاسباتی نظیر داکینگ مولکولی جهت پیش‌بینی طراحی

پیش از بررسی برهم‌کنش‌های لیگاند-پروتئین، ترکیبات گیاهی مورد نظر از لحاظ خصوصیات فیزیکوشیمیایی و همچنین عدم سمیت مورد بررسی قرار گرفتند [۱۸]. خصوصیات فیزیکوشیمیایی مورد ارزیابی شامل حلالیت در آب، میزان قطبیدگی (TPSA)، میزان پخش (logD) و قابلیت نفوذ (logP) بودند که با استفاده از سرور آنلاین SwissADME به آدرس www.swissadme.ch تعیین شدند. علاوه بر این، پتانسیل جهش‌زایی ترکیبات گیاهی در سالمونلا تیفی موریوم و همچنین قابلیت مهار ۴ سیتوکروم CytochromeP ۴۵۰۳A۴، (CYP۳A۴)، C۹ ۴۵۰۲

داروها ضروری به نظر می‌رسد و همچنین این روش بر اساس برهم‌کنش اتم‌ها با یکدیگر بوده و در آن لیگاند یا ترکیب شیمیایی موردنظر، جهت یافتن جایگاه اتصال مطلوب، به طور تصادفی و یا با الگوریتم اختصاصی در سطح ماکرومولکول ویژه‌ای جابجا می‌شود، لذا در این پژوهش، قابلیت ترکیبات گیاهی مورد نظر در ایجاد برهم‌کنش و مهار چهار پروتئین VanX، VanA، PBP α ، β -lactamase و VanX به روش داکینگ مولکولی و با استفاده از نرم‌افزار iGemdock α ارزیابی شد [۱۸]. پارامترهای به‌کاررفته در داکینگ مولکولی این نرم‌افزار برای تمام ترکیبات مورد بررسی ثابت و به صورت نوع داکینگ استاندارد، تعداد دفعات برهم‌کنش ۷۰، برهم‌کنش‌های الکتریکی و هیدروژنی با انرژی آستانه ۲/۵- کیلوژول بر مول، برهم‌کنش واندروالسی با انرژی آستانه ۴- کیلوژول بر مول و قطر ناحیه برهم‌کنش ۲۰۰ آنگستروم می‌باشد. در نهایت انرژی ناشی از برهم‌کنش هر ترکیب با پروتئین‌های مورد بررسی تعیین و اسید آمینه‌های کلیدی و درگیر در برهم‌کنش نیز مشخص شدند.

نتایج

نتایج حاصل از پیش‌بینی خصوصیات فیزیکوشیمیایی ترکیبات گیاهی و همچنین پتانسیل سمیت آن‌ها، که از سرور آنالین SwissADME استخراج شده، در جدول ۲ آورده شده است. بنابراین، به ترتیب با توجه به نتایج مربوط

به ستون پتانسیل جهش‌زایی و جمع‌بندی نتایج مرتبط با مهار سیتوکروم‌ها، هیچ یک از ترکیبات مورد بررسی در این پژوهش پتانسیل جهش‌زایی و سمیت سلولی نداشتند. نتایج حاصل با توجه به پتانسیل جهش‌زایی ترکیبات گیاهی در سالمونلا تیفی‌موریوم، جهت تعیین پتانسیل جهش‌زایی، و نیز بر اساس قابلیت مهار ۴ سیتوکروم، به‌منظور تعیین سمیت ژنتیکی و سلولی، مورد بررسی واقع شده‌اند. علاوه بر این، نتایج حاصل از سرور مذکور نشان داد که ترکیبات گیاهی *S. striata* جذب گوارشی بالاتری در مقایسه با سایر ترکیبات دارند. چنان‌چه ترکیبات دارویی خوراکی جذب گوارشی بالایی را داشته باشند، می‌تواند به راحتی توسط سیستم گوارشی جذب شده و بنابراین تأثیرات قابل‌توجه و سریع‌تری را از خود نشان دهند. بررسی میزان حلالیت ترکیبات مورد ارزیابی بر اساس logS نیز نشان داد که ترکیب DI-N-Octyl phthalate حاصل از گیاه *S. striata* بیش‌ترین و ۲-Ethylbutanal موجود در همین گیاه کم‌ترین حلالیت را دارند. علاوه بر این مشخص شد که در بین ترکیبات مورد ارزیابی، Methyl stearate و ۲-Ethylbutanal به ترتیب، براساس logP، بالاترین و پایین‌ترین میزان قابلیت نفوذ را داشته و با توجه به اعداد مربوط به logD، بیش‌ترین و کم‌ترین میزان توزیع و پخش نیز به ترتیب مربوط به ترکیبات Methyl stearate و Reynosin می‌باشد.

جدول ۲- نتایج حاصل از پیش بینی خصوصیات فیزیکوشیمیایی و پتانسیل سمیت ترکیبات گیاهی مورد آزمایش

logP لگاریتم نفوذ	logD لگاریتم توزیع	TPSA میزان قطبیت	logS لگاریتم حلالیت	جذب گوارشی	مهارسیتو کروم ۱۸۲	مهار سیتو کروم ۲C۱۹	مهار سیتو کروم ۲C۹	مهار سیتو کروم ۳A۴	پتانسیل جهش زایی	نام ترکیبات موجود در سه گیاه دارویی
۴/۴۸	۴/۳۶	<۰/۰۰۱	-۳/۵۱	کم	خیر	خیر	بلی	خیر	خیر	α -Pinene
۴/۳۰	۳/۴۲	۲۶/۳۰	-۳/۶۳	زیاد	خیر	خیر	بلی	خیر	خیر	Bornyl acetate
۴/۵۰	۴/۵۶	<۰/۰۰۱	-۳/۴۵	کم	خیر	خیر	خیر	خیر	خیر	Gamma-Terpinene
۴/۷۴	۶/۰۱	<۰/۰۰۱	-۴/۰۳	کم	خیر	خیر	بلی	خیر	خیر	Germacrene D
۴/۱۷	۴/۴۶	<۰/۰۰۱	-۳/۰۵	کم	خیر	خیر	خیر	خیر	خیر	Myrcene
۴/۱۰	۴/۰۹	<۰/۰۰۱	-۳/۶۳	کم	خیر	خیر	خیر	خیر	خیر	p-cymene
۴/۲۰	۴/۵۳	<۰/۰۰۱	-۳/۲۰	کم	خیر	خیر	خیر	خیر	خیر	Alloocimene
۴/۲۶	۴/۶۱	<۰/۰۰۱	-۳/۱۷	کم	خیر	خیر	خیر	خیر	خیر	β -Ocimene
۲/۷۲	۳/۴۲	۲۰/۲۳	-۲/۵۱	زیاد	خیر	خیر	خیر	خیر	خیر	Borneol
۴/۳۰	۳/۴۲	۲۶/۳۰	-۳/۶۳	زیاد	خیر	خیر	بلی	خیر	خیر	Bornyl acetate
۴/۲۲	۴/۱۳	<۰/۰۰۱	-۳/۳۴	کم	خیر	خیر	بلی	خیر	خیر	Camphene
۴/۵۷	۴/۲۷	<۰/۰۰۱	-۳/۵۰	کم	خیر	خیر	بلی	خیر	خیر	Limonene
۳/۴۹	۳/۱۲	۲۰/۲۳	-۳/۳۱	زیاد	بلی	خیر	خیر	خیر	خیر	Methyl carvacrol
۳/۰۹	۴/۳۷	<۰/۰۰۱	-۲/۵۷	کم	خیر	خیر	خیر	خیر	خیر	Sabinene
۳/۱۱	۴/۲۰	۲۰/۲۳	-۳/۱۷	زیاد	خیر	بلی	خیر	خیر	خیر	Spathulenol
۴/۴۷	۴/۳۸	<۰/۰۰۱	-۳/۵۰	کم	خیر	خیر	بلی	خیر	خیر	Terpinolene
۳/۱۶	۲/۶۹	۲۰/۲۳	-۲/۷۷	زیاد	خیر	خیر	خیر	خیر	خیر	Transeverbenol
۲/۸۷	۳/۸۹	<۰/۰۰۱	-۲/۴۸	کم	خیر	خیر	خیر	خیر	خیر	Verbene
۳/۲۱	۴/۴۶	<۰/۰۰۱	-۲/۶۴	کم	خیر	خیر	خیر	خیر	خیر	α -phellandrene
۴/۱۶	۴/۱۵	<۰/۰۰۱	-۳/۳۱	کم	خیر	خیر	بلی	خیر	خیر	β -pinene
۳/۲۰	۳/۰۹	<۰/۰۰۱	-۳/۰۷	کم	خیر	خیر	خیر	خیر	خیر	۱,۳-dimethyl-benzene

۶/۵۷	۶/۶۶	۲۰/۲۳	-۴/۵۴	زیاد	بلی	خیر	خیر	خیر	خیر	1-pentadecanol
۱/۴۸	۱/۶۵	۱۷/۰۷	-۱/۲۰	زیاد	خیر	خیر	خیر	خیر	خیر	۲-Ethylbutanal
۲/۷۵	۲/۸۱	۲۰/۲۳	-۲/۱۲	زیاد	خیر	خیر	خیر	خیر	خیر	۳-۲methylheptanol
۷/۴۵	۷/۷۷	۵۲/۶۰	-۶/۰۶	زیاد	خیر	خیر	بلی	بلی	خیر	۲-Bis(ethylhexyl)phthalate
۸/۱۰	۸/۳۳	۵۲/۶۰	-۶/۳۴	زیاد	خیر	خیر	خیر	بلی	خیر	DI-N-Octylphthalate
۷/۸۸	۷/۹۳	۲۶/۳۰	-۵/۵۱	زیاد	بلی	خیر	خیر	خیر	خیر	Ethyl palmitate
۷/۳۸	۷/۴۹	۲۶/۳۰	-۵/۱۸	زیاد	بلی	خیر	خیر	خیر	خیر	Methyl palmitate
۸/۳۵	۸/۳۷	۲۶/۳۰	-۵/۸۳	زیاد	بلی	خیر	خیر	خیر	خیر	Methyl stearate
۷/۴۵	۷/۵۰	۲۰/۲۳	-۵/۲۱	زیاد	بلی	خیر	خیر	خیر	خیر	Oleyl alcohol
۷/۱۷	۴/۴۳	۳۷/۳۰	-۵/۰۲	زیاد	بلی	خیر	بلی	خیر	خیر	Palmitic acid
۶/۱۳	۳/۲۸	۵۷/۵۳	-۴/۵۶	زیاد	بلی	خیر	بلی	خیر	خیر	Ricinoleic acid
۵/۳۵	۲/۱۶	۲۶/۰۲	-۳/۷۹	زیاد	خیر	خیر	خیر	خیر	خیر	Tridecan-amine۲-
۲/۷۴	۳/۰۶	۹/۲۳	-۲/۵۲	زیاد	خیر	خیر	خیر	خیر	خیر	۱,۸-cineole
۳/۲۱	۴/۴۶	<۰/۰۰۱	-۲/۶۴	کم	خیر	خیر	خیر	خیر	خیر	α-Phellandrene
۴/۲۵	۴/۷۱	<۰/۰۰۱	-۳/۳۰	کم	خیر	خیر	خیر	خیر	خیر	α-Terpinene
۳/۳۹	۲/۹۵	۲۰/۲۳	-۳/۸۷	زیاد	خیر	خیر	خیر	خیر	خیر	α-Terpinol
۴/۱۶	۴/۱۵	<۰/۰۰۱	-۳/۳۱	کم	خیر	خیر	بلی	خیر	خیر	β-pinene
۶/۱۱	۵/۳۶	<۰/۰۰۱	-۴/۷۶	کم	خیر	بلی	بلی	خیر	خیر	β-Elemene

۲/۷۲	۲/۷۶	۲۰/۲۳	-۲/۵۱	زیاد	خیر	خیر	خیر	خیر	خیر	Borneol
۴/۲۲	۴/۱۳	<۰/۰۰۱	-۳/۳۴	کم	خیر	خیر	بلی	خیر	خیر	Camphene
۲/۱۹	۲/۳۸	۱۷/۰۷	-۲/۱۶	زیاد	خیر	خیر	خیر	خیر	خیر	Camphor
۲/۰۹	۳/۳۲	۲۶/۳۰	-۲/۶۰	زیاد	خیر	بلی	بلی	خیر	خیر	Costunolide
۲/۲۷	۲/۲۲	۲۹/۴۶	-۲/۴۶	زیاد	بلی	خیر	خیر	خیر	خیر	Eugenol
۴/۵۰	۴/۵۹	<۰/۰۰۱	-۳/۴۵	کم	خیر	خیر	خیر	خیر	خیر	Gamma-Terpinene
۳/۷۷	۴/۶۳	۲۰/۲۳	-۳/۵۳	زیاد	خیر	خیر	بلی	خیر	خیر	Germacrene D-ol
۴/۵۷	۴/۲۷	<۰/۰۰۱	-۳/۵۰	کم	خیر	خیر	بلی	خیر	خیر	Limonene
۲/۹۷	۲/۸۹	۲۰/۲۳	-۲/۴۰	زیاد	خیر	خیر	خیر	خیر	خیر	Linalool
۴/۱۷	۴/۴۶	<۰/۰۰۱	-۳/۰۵	کم	خیر	خیر	خیر	خیر	خیر	Myrcene
۲/۰۴	۱/۶۱	۴۶/۵۳	-۲/۶۶	زیاد	خیر	خیر	خیر	خیر	خیر	Reynosin
۳/۰۹	۴/۳۷	<۰/۰۰۱	-۲/۵۷	کم	خیر	خیر	خیر	خیر	خیر	Sabinene
۱/۹۹	۱/۸۱	۴۶/۵۳	-۲/۶۳	زیاد	خیر	خیر	خیر	خیر	خیر	Santamarine
۱/۹۰	۱/۹۸	۵۲/۶۰	-۲/۶۹	زیاد	خیر	خیر	خیر	خیر	خیر	Zaluzani n D

برهم‌کنش‌های رخ داده بین ترکیبات گیاهی و پروتئین VanX می‌باشد. از طرف دیگر مشخص شد که چهار ترکیب β -pinene، ۲-Ethylbutanal، β -dimethyl- benzene ۱،۳ و Camphene ضعیف‌ترین برهم‌کنش‌ها را با پروتئین‌های مورد ارزیابی ایجاد می‌کنند. در مقابل مشخص شد که قوی‌ترین برهم‌کنش‌ها در سه پروتئین β -lactamase، Bis(۲-ethylhexyl) Phthalate و PBP2a مربوط به VanX و مربوط به Palmitic acid می‌باشد. و در پروتئین VanA مربوط به

نتایج حاصل از داکینگ مولکولی بین ترکیبات گیاهی و چهار پروتئین مؤثر در بروز مقاومت آنتی‌بیوتیکی باکتری S. aureus در جدول ۳ آورده شده است. نتایج نشان داد که اکثر ترکیبات مورد بررسی برهم‌کنش‌های مناسبی را با چهار پروتئین مذکور نشان می‌دهند. بررسی مقایسه‌ای برهم‌کنش‌ها نشان داد که ترکیبات گیاه S. striata برهم‌کنش‌های قوی تری را با پروتئین‌های مورد بررسی انجام می‌دهند. علاوه بر این مشخص شد قوی‌ترین

علاوه بر این بررسی اسید آمینه‌های درگیر در برهم‌کنش‌ها نیز نشان داد که در برهم‌کنش ترکیبات گیاهی با پروتئین β -lactamase اسید آمینه‌هایی نظیر TYR105، GLN237، PRO252 و ASN132 نقش کلیدی را ایفاء می‌کنند. بررسی جایگاه آمینو اسیدهای درگیر در برهم‌کنش با پروتئین مذکور نیز نشان داد اسید آمینه‌های قرار گرفته در نواحی ۶۶-۸۸، ۱۰۵، ۲۰۶-۲۱۰ و ۲۳۷-۲۵۶ پروتئین

مذکور حاوی باقی مانده‌های کلیدی در برهم‌کنش با ترکیبات مورد بررسی می‌باشند (جدول ۳). آمینو اسیدهای کلیدی و نواحی مهم درگیر برهم‌کنش پروتئین‌های مورد بررسی با ترکیبات گیاهی مورد مطالعه در جدول ۳ خلاصه شده است. به‌طور کلی کم‌ترین و بیش‌ترین اسید آمینه‌های درگیر در برهم‌کنش به ترتیب مربوط به β -lactamase و VanA بودند.

جدول ۳- نواحی و اسید آمینه‌های کلیدی درگیر در برهم‌کنش ترکیبات گیاهی با ۴ پروتئین مورد بررسی باکتری *S. aureus*

پروتئین	موقعیت اسید آمینه‌هایی با بیش‌ترین میزان مشارکت در برهم‌کنش‌ها	باقی مانده‌های دارای نقش کلیدی در برهم‌کنش
β -lactamase	۶۷-۸۸، ۱۰۵، ۲۰۶-۲۱۰، ۲۳۷-۲۵۶	TYR88, TYR105, GLN237, PRO252
PBP2a	۱۶۵، ۲۴۰-۲۹۵، ۴۴۶، ۵۲۱، ۶۰۰-۶۱۴	ARG151, THR165, SER240, ARG241, HIS 293, SER400
VanA	۱۳۳، ۱۶۹-۱۸۱، ۲۴۰-۳۰۵	LYS133, PHE169, LYS171, GLY176, SER177-178, GLU214, ILE240, ARG242, ASN304, GLU305
VanX	۶۷-۷۱، ۱۱۰-۱۴۰، ۱۷۸-۱۸۴	ARG71, TYR109, TYR178, GLU181, HIS184

* باقی مانده‌های ذکر شده در جدول ۳، شامل: تیروزین (TYR)، گلوتامین (GLN)، پرولین (PRO)، آرژنین (ARG)، تروئونین (THR)، سرین (SER)، هیستیدین (HIS)، لیزین (LYS)، فنیل آلانین (PHE)، گلايسین (GLY)، گلوتامیک اسید (GLU)، ایزولوسین (ILE) و آسپاراژین (ASN) می‌باشند.

برهم‌کنش‌های قوی با پروتئین‌های مورد مطالعه داشته و احتمالاً می‌توانند در مهار چهار پروتئین مورد مطالعه مؤثر واقع شوند.

در سال‌های اخیر باتوجه به ایجاد مقاومت باکتری *S. aureus* به آنتی‌بیوتیک‌هایی مانند پنی‌سیلین و متی‌سیلین، محققین به دنبال راهکارهای درمانی اختصاصی و مؤثری جهت درمان بیماری‌های مرتبط با آن بوده‌اند [۲۰]. در این

بحث

در سال‌های اخیر فعالیت ضد باکتریایی ترکیبات فیتوشیمیایی بسیار مورد توجه قرار گرفته است [۱۹]. در پژوهش حاضر تأثیر ترکیبات حاصل از سه گونه گیاهی *F. L. nobilis*، *S. striata*، *angulat* در مهار چهار پروتئین مؤثر در ایجاد مقاومت آنتی‌بیوتیکی در باکتری *S. aureus* مورد ارزیابی قرار گرفت. نتایج نشان داد که این ترکیبات

از آن جایی که بررسی‌های بیوانفورماتیک به علت خطای کم‌تر نسبت به سایر مطالعات، محققین را به هدف نزدیک می‌کند [۲۷-۲۹]، لذا در این پژوهش مطالعه بیوانفورماتیکی با استفاده از روش داکینگ مولکولی مورد بررسی قرار گرفت و مشخص شد که اکثر برهم‌کنش‌ها و بیش‌ترین اسیدآمین‌های درگیر در برهم‌کنش مربوط به ناحیه ۱۴۰-۳۰۰ در پروتئین PBP2a هستند [۳۰] که منطبق با نتایج به‌دست آمده از تأثیر ترکیبات فیتوشیمیایی سه گونه گیاهی *F. angulate*، *S. striata* و *L. nobilis* بر روی پروتئین PBP2a باکتری *S. aureus* در پژوهش حاضر است. هم‌چنین نتایج نشان می‌دهد که دیگر اسیدآمین‌های درگیر در برهم‌کنش با این پروتئین مربوط به ناحیه ۴۰۰-۶۰۰ هستند. ناحیه مذکور مرتبط با جایگاه فعال این پروتئین بوده و جایگاهی محافظت شده می‌باشد که به صورت نوکلئوفیل در سمت انتهای آمینی پروتئین قرار دارد [۳۱]. علاوه بر این، در پژوهش حاضر تأثیر ترکیبات سه گونه گیاهی مذکور بر روی پروتئین‌های β -Lactamase، VanA و VanX نیز مورد بررسی قرار گرفت. در پروتئین β -Lactamase بیش‌ترین آمینواسیدهای درگیر در برهم‌کنش مربوط به نواحی ۱۰۵، ۲۰۶-۲۱۰، ۲۳۷-۲۵۶ است. دو باقیمانده اسیدآمین‌های شامل موقعیت ۲۲۸ و ۲۵۴ در این پروتئین حضور دارند که نقش مهمی در تشکیل ساختمان پروتئین β -Lactamase ایفاء می‌کنند [۳۲]. هم‌چنین اسیدآمین γ از اسیدآمین‌های مهم جایگاه فعال این پروتئین است [۳۳]. نتایج حاضر نیز بیان‌گر درگیری ناحیه

خصوص بهره‌گیری از گیاهان به دلیل اینکه دارای منابع غنی از ترکیبات ضد میکروبی و دارویی می‌باشند، بسیار مورد توجه واقع شده است [۲۴-۲۱]. در پژوهشی که توسط Shahbazi et al. (۲۰۱۵) انجام گرفت تأثیر روغن‌های ضروری گیاه *F. angulat* بر روی گونه‌های باکتریایی مختلف مانند لیستریا مونوسیتوزنزیز، باسیلوس سرئوس و *S. aureus* بررسی شد و خاصیت ضد باکتریایی ترکیباتی نظیر α -pinene، bornyl acetate و γ -terpinene بر روی باکتری‌های مذکور گزارش شدند [۱۶]. نتایج حاصل از پژوهشی دیگر بر روی عصاره‌های اتانولی و هیدروالکلی گیاه *S. striata*، نشان داد که بیش‌ترین ترکیبات فیتوشیمیایی این گیاه شامل: *oleyl*، *Methyl stearate*، *Bis(2-ethylhexyl)Phthalate* و *alcohol* و *DI-N-Octyl phthalate* هستند و تأثیر چشم‌گیری در از بین بردن باکتری‌هایی مانند *S. aureus*، اشریشیاکلی و لیستریا مونوسیتوزنز دارند [۲۵]. در پژوهشی تأثیر روغن‌های ضروری عصاره برگ گیاه *L. nobilis* بر روی چهارده نوع باکتری انجام گرفت و مشخص شد ترکیبات موجود در عصاره این گیاه موجب مهار فعالیت گونه‌های باکتریایی مورد آزمایش می‌شود [۲۶]. در راستای مطالعات ذکر شده، در پژوهش حاضر نیز تأثیر ترکیبات فیتوشیمیایی موجود در سه گونه گیاهی *F. angulat*، *S. striata* و *L. nobilis* بر روی باکتری *S. aureus* ارزیابی شد و نتایج مطالعه ما آن بیان‌گر برهم‌کنش قوی و مناسب ترکیبات سه گیاه مذکور با پروتئین‌های مرتبط با بروز مقاومت آنتی‌بیوتیکی در این باکتری بود.

گیاهی انتخاب شده است. همچنین این پروتئین برهمکنش‌های قوی‌تری را با ترکیبات گیاهی مذکور نسبت به سایر پروتئین‌های مورد مطالعه در این پژوهش داشته است. به گونه‌ای که بیش‌ترین انرژی برهم‌کنش مربوط به همین پروتئین با ترکیب گیاهی Phthalate (2-ethylhexyl)-Bis بوده است. همچنین این ترکیب گیاهی بیش‌ترین انرژی برهم‌کنش را با پروتئین‌های β -Lactamase و PBP2a داشته است. این ترکیب فیتوشیمیایی مشتق شده از گیاه *S. striata* بوده و یکی از عمده‌ترین ترکیبات موجود در این گیاه می‌باشد که عمل‌کرد ضد باکتریایی آن به‌وسیله مطالعات آزمایشگاهی پیشین نیز تأیید شده بود [۲۵]. ترکیب گیاهی Palmitic acid نیز بیش‌ترین انرژی برهم‌کنش را با پروتئین VanA داشته است. برهم‌کنش‌ها لیگاند‌های مذکور در برخی از نواحی با جایگاه‌های فعال این پروتئین‌ها مرتبط بوده و در نتیجه می‌توانند موجب مهار فعالیت این پروتئین‌ها شوند. بنابراین ترکیبات مذکور می‌توانند به عنوان نامزدهای بسیار مناسبی برای بررسی آزمایشگاهی و درون‌تنی فعالیت ضد *S. aureus* محسوب شوند.

نتیجه‌گیری

نتایج حاصل از این پژوهش نشان داد که تمامی ترکیبات مورد بررسی برهمکنش‌های مناسبی را با آنزیم‌های مذکور انجام می‌دهند. بررسی نواحی و شدت برهم‌کنش‌های انجام شده نشان داد که دو ترکیب Bis(2-ethylhexyl)Phthalate و Palmitic acid با ایجاد برهم‌کنش‌های قوی در جایگاه

اسیدآمینه‌ای پیرامون اسیدآمینه‌های مذکور در برهم‌کنش با ترکیبات گیاهی مورد استفاده در این پژوهش است. این امر می‌تواند موجب مهار تشکیل و یا فعالیت این پروتئین گردد. در پروتئین VanA بیش‌ترین برهم‌کنش‌ها با لیگاند‌ها در نواحی اسیدآمینه‌ای ۱۳۳، ۱۶۹-۱۸۱ و ۲۴۰-۳۰۵ اتفاق افتاده است. جایگاه فعال این پروتئین در ناحیه ۲۴۴-۳۱۵ واقع شده است و اسیدآمینه‌ی ARG242 نقش مهمی را در فعالیت این آنزیم ایفاء می‌کند [۳۴]. در پژوهش حاضر نیز این نواحی بیش‌ترین برهم‌کنش را با ترکیبات فیتوشیمیایی برقرار نموده‌اند و همین امر می‌تواند موجب مهار این آنزیم توسط این ترکیبات شود. در پروتئین VanX بیش‌ترین برهم‌کنش‌ها با لیگاند‌ها در نواحی اسیدآمینه‌ای ۶۷-۷۱، ۱۱۰-۱۴۰ و ۱۷۸-۱۸۴ اتفاق افتاده است. در راستای این مطالعه، Bussiere و همکاران نشان داده‌اند که حفره جایگاه فعال این پروتئین به صورت آمفی‌پاتیک بوده و از نظر ظاهری به مستطیلی شکل بوده که سه وجه آن هیدروفیل و یک وجه آن هیدروفوب است و اسید آمینه‌های درگیر در این نواحی شامل آسپارتیک اسید-۶۸، والین-۱۱۰، آلانین-۱۱۱، سرین-۱۱۴، سرین-۱۱۵، هیستیدین-۱۱۶، آلانین-۱۲۱، ایزولوسین-۱۲۲، آسپارتیک اسید-۱۲۳، فنیل آلانین-۱۴۱، تیروزین-۱۷۸، لوسین-۱۸۰، تریپتوفان-۱۸۳ و هیستیدین-۱۸۴ است [۳۵]. در مطالعه حاضر نیز بیش‌ترین برهم‌کنش‌ها با لیگاند‌ها در همین نواحی اتفاق افتاده است و نتایج آن با مطالعات قبلی مطابقت دارد. همین امر نشان دهنده احتمال مهار جایگاه فعال پروتئین به‌وسیله ترکیبات

تشکر و قدردانی

بدین وسیله نویسندگان این مقاله کمال تشکر و قدردانی را از اساتید گروه بیوتکنولوژی دانشکده فناوری‌های نوین دانشگاه اصفهان به علت راهنمایی‌های ارزشمند جهت انجام این پژوهش دارند.

فعال این پروتئین‌ها می‌توانند موجب مهار فعالیت آن‌ها شوند. بنابراین می‌توانند به عنوان گزینه‌های مناسب و مؤثری جهت بررسی‌های مطالعات آزمایشگاهی و درون‌تنی به منظور دستیابی به ترکیبات طبیعی با قابلیت کنترل و درمان عفونت‌های ناشی از *S. aureus* در نظر گرفته شوند.

References

- [1] Blot S, Vandewoude K, Colardyn F. Staphylococcus aureus infections. *N Engl J Med* 1998; 339(27): 2025-6.
- [2] De Kraker M, Jarlier V, Monen J, Heuer O, Van De Sande N, Grundmann H. The changing epidemiology of bacteraemias in Europe: trends from the European Antimicrobial Resistance Surveillance System. *Clin Microbiol Infect* 2013; 19(9): 860-8.
- [3] Rahimpour F, Roudbari F, Azimian A, Youssefi M, Ghazvini K. Prevalence of staphylococcus aureus with reduced susceptibility against vancomycin in clinical samples isolate from Mashhad hospitals during 2014. *J North Khorasan Uni* 2015; 7(2):309-18. [Farsi]
- [4] Klevens RM, Edwards JR, Richards Jr CL, Horan TC, Gaynes RP, Pollock DA, et al. Estimating health care-associated infections and deaths in US hospitals, 2002. *Public Health Rep* 2007; 122(2): 160-6.
- [5] McGuinness WA, Malachowa N, DeLeo FR. Focus: Infectious Diseases: Vancomycin Resistance in Staphylococcus aureus. *Yale J Biol Med* 2017; 90(2): 269.
- [6] Pantosti A, Sanchini A, Monaco M. Mechanisms of antibiotic resistance in Staphylococcus aureus. 2007; 323-34.
- [7] Dedania VS, Hale BP, Bhatnagar P. Endogenous endophthalmitis due to clinically vancomycin-resistant Staphylococcus aureus. *Retin Cases Brief Rep* 2015; 9(1): 59-60.
- [8] Aqil F, Khan MS, Owais M, Ahmad I. Effect of certain bioactive plant extracts on clinical isolates of β -lactamase producing methicillin resistant Staphylococcus aureus. *J. Basic Microbiol* 2005; 45(2): 106-14.
- [9] Lim D, Strynadka NC. Structural basis for the β lactam resistance of PBP2a from methicillin-resistant Staphylococcus aureus. *Nat Struct Mol Biol* 2002; 9(11): 870.

- [10] Courvalin P. Vancomycin resistance in gram-positive cocci. *Clin Infect Dis* 2006; 1(42): 25-34
- [11] Savoia D. Plant-derived antimicrobial compounds: alternatives to antibiotics. *Future Microbiol* 2012; 7(8): 979-90.
- [12] Otsuka N, Liu MH, Shiota S, Ogawa W, Kuroda T, Hatano T. et al. Anti-methicillin resistant Staphylococcus aureus (MRSA) compounds isolated from *Laurus nobilis*. *Biol Pharm Bull* 2008; 31(9): 1794-97.
- [13] Mohtar M, Johari SA, Li AR, Isa MM, Mustafa S, Ali AM et al. Inhibitory and resistance-modifying potential of plant-based alkaloids against methicillin-resistant Staphylococcus aureus (MRSA). *Curr Microbiol* 2009; 59(2): 181-6.
- [14] Blundell TL, Sibanda BL, Montalvão RW, Brewerton S, Chelliah V, Worth CL, et al. Structural biology and bioinformatics in drug design: opportunities and challenges for target identification and lead discovery. *Philos Trans R Soc B Biol Sci* 2006; 361(1467): 413-23.
- [15] Nosrati M, Behbahani M. Molecular Docking Study of HIV-1 Protease with Triterpenoides Compounds from Plants and Mushroom. *Arak Uni Med Sci J* 2015; 18(3): 67-79.[Farsi]
- [16] Shahbazi Y, Shavisi N, Karami N, Kakaie S. Chemical composition and in vitro antibacterial activity of *Ferulago angulata* (Schlecht.) Boiss essential oil. *Pharma Sci* 2015; 21(1): 6.
- [17] Merghni A, Marzouki H, Hentati H, Aouni M, Mastouri M. Antibacterial and antibiofilm activities of *Laurus nobilis* L. essential oil against *Staphylococcus aureus* strains associated with oral infections. *Curr Res Translat Med* 2016; 64(1): 29-34.
- [18] Nosrati M., Shakeran Z, Shakeran Z. Frangulosid as a novel hepatitis B virus DNA polymerase inhibitor: a virtual screening study. *In Silico Pharmacol* 2018; 6(1): 10.
- [19] Nascimento GG, Locatelli J, Freitas PC, Silva GL. Antibacterial activity of plant extracts and phytochemicals on antibiotic-resistant bacteria. *Braz. J. Microbiol* 2000; 31(4): 247-56.
- [20] Purrello S, Garau J, Giamarellos E, Mazzei T, Pea F, Soriano A, et al. Methicillin-resistant *Staphylococcus aureus* infections: A review of the currently available treatment options. *J Glob Antimicrob Re* 2016; 7: 178-86.
- [21] Nosrati M, Behbahani M. Antibacterial Activity of Methanol Extracts from Different Parts of Prangos crossoptera and their Synergistic Effect on Some Antibiotics. *J Mazan Uni Med Sci* 2015; 25(129): 92-101. [Farsi]
- [22] Quave CL, Estévez-Carmona M, Compadre CM, Hobby G, Hendrickson H, Beenken KE, et al. Ellagic acid derivatives from *Rubus ulmifolius* inhibit *Staphylococcus aureus* biofilm formation and improve response to antibiotics. *PLoS one* 2012; 7(1): e28737.

- [23] Djeussi DE, Noumedem JA, Seukep JA, Fankam AG, Voukeng IK, Tankeo SB, et al. Antibacterial activities of selected edible plants extracts against multidrug-resistant Gram-negative bacteria. *BMC Complement Altern Med* 2013; 13(1): 164.
- [24] Zamaninan-Azodi M, Ardeshiryajimi A, Ahmadi N, Rezaee MB, Jalilian FA, Khodarahmi R. Antibacterial effects of *Scrophularia striata* seed aqueous extract on staphylococcus aureus. *J Param Sci* 2013; 4(1).
- [25] Jafari AA, Shohrati M, Mahmoudi R, Hoseini RH, Nosratpour S, Pajohi-Alamoti M, et al. Chemical composition and biological activities of *Scrophularia striata* extracts. *Minerva Biotechnol* 2014; 26(3): 183-9.
- [26] El-Sawi S, Ibrahim M, Ali A. In Vitro Cytotoxic, Antioxidant and Antimicrobial Activities of Essential Oil of Leaves of *Laurus nobilis* L. Grown in Egypt and its Chemical Composition. *Med Aroma Plant Sci Biotechnol* 2009; 3(1): 16-23.
- [27] Nosrati M, Behbahani M. In vitro and in silico antibacterial activity of prangos[†] ferulacea (l.) lindl and prangos uloptera dc, and their mutagenicity in the ames test. *J Microbiol, Biotechnol Food Sci* 2016; 6(3): 930.
- [28] Nosrati M, Behbahani M. In Vitro and in Silico Evaluation of Antibacterial Effect of Methanolic Extracts of Prangos Ferulacea on Single and Biofilm Structure of Streptococcus Mutans. *SSU_Journals* 2016; 23(11): 1049-62.
- [29] Nosrati M, Shakeran Z, Shakeran Z. In Silico Screening Hepatitis B Virus Dna Polymerase Inhibitors From Medicinal Plants. *Arak Med Univ J* 2017; 20(5): 89-102. [Farsi]
- [30] Hussein NNA, Daddam JR, Prasad EM, Naidu N. Evaluation of novel curcumin derivatives against methicillin resistant staphylococcus aureus (mrsa). *Int J Appl Biol Pharm* 2017; 8(3): 111-20.
- [31] Lim D, Strynadka NC. Structural basis for the β lactam resistance of PBP2a from methicillin-resistant Staphylococcus aureus. *Nat. Struct. Mol. Biol* 2002; 9(11): 870.
- [32] Pieper U, Hayakawa K, Li Z, Herzberg O. Circularly permuted β -lactamase from Staphylococcus aureus PC1. *Biochemistry* 1997; 36(29): 8767-74.
- [33] Herzberg O, Moulton J. Bacterial resistance to beta-lactam antibiotics: crystal structure of beta-lactamase from Staphylococcus aureus PC1 at 2.5 Å resolution. *Science* 1987; 236(4802): 694-701.
- [34] Roper DI, Huyton T, Vagin A, Dodson G. The molecular basis of vancomycin resistance in clinically relevant Enterococci: crystal structure of D-alanyl-D-lactate ligase (VanA). *Proc Natl Acad Sci* 2000; 97(16): 8921-5.
- [35] Bussiere DE, Pratt SD, Katz L, Severin JM, Holzman T, Park CH. The structure of VanX reveals a novel amino-dipeptidase involved in mediating transposon-based vancomycin resistance. *Mol Cell* 1998; 2(1): 75-84.

Bioinformatics Study of the Effects of Some Phytocompounds Found in *Ferulago Angulat*, *Scrophularia Striata* and *Laurus Nobilis* Medicinal Plants on Inhibition of the Proteins Causing Antibiotic Resistance in *Staphylococcus Aureus*: A Descriptive Study

Z. Shakeran¹, Z. Shakeran² M. Nosrati³

Received: 08/07/2018 Sent for Revision: 22/10/2018 Received Revised Manuscript: 01/01/2019 Accepted: 02/01/2019

Background and Objectives: Currently infections caused by *Staphylococcus aureus* have increased and raised antibiotic resistant isolates. Therefore, lots of studies have been done to introduce novel anti-*S.aureus* compounds especially natural originated constitutes. Hence, this study aimed to determine bioinformatics screening of novel inhibitors of antibiotic resistance-associated proteins in *Saureus* from medicinal plants.

Material and Methods: Firstly, in this descriptive study, three-dimension structure of a set of phytochemicals from three medicinal plants including *Ferulago angulat*, *Scrophularia striata*, *Laurus nobilis* were retrieved from PubChem database. Then, three-dimension structure of four antibiotic resistance-associated proteins including β -lactamase, penicillin binding protein 2A (PBP2a), Vancomycin A (VanA) and D-alanyl-D-alanine dipeptidase (VanX) were obtained from Protein Data Bank. Finally, the ability of the selected phytocompounds for inhibition of the mentioned antibiotic resistance-associated proteins was investigated using molecular docking method by iGemdock 2.1 software.

Results: The results showed that most of the tested compounds had appropriate interaction to all the studied proteins especially to VanX. The results also revealed that Bis (2-ethylhexyl) phthalate and Palmitic acid had strongest interactions to all the tested proteins.

Conclusion: The results of this study showed that Bis (2-ethylhexyl) phthalate and Palmitic acid found in the surveyed medicinal plants are good candidates for more in vitro and in vivo studies about anti-bacterial activity against antibiotic resistant *S. aureus*.

Keywords: *Staphylococcus aureus*, Antibiotic resistance, Medicinal plants, Bioinformatics.

Funding: None declared.

Conflict of interest: None declared.

Ethical approval: None declared.

How to cite this article: Shakeran Z, Shakeran Z, Nosrati M. Bioinformatics Study of the Effects of Some Phytocompounds Found in *Ferulago Angulat*, *Scrophularia Striata* and *Laurus Nobilis* Medicinal Plants on Inhibition of the Proteins Causing Antibiotic Resistance in *Staphylococcus Aureus*: A Descriptive Study. *J Rafsanjan Univ Med Sci* 2019; 18 (2): 177-92. [Farsi]

1- MSc Student of Biochemistry, Dept. of Biology, Faculty of Science, University of Isfahan, Isfahan, Iran
ORCID: 0000-0003-2423-6387

2- PhD Student of Nanobiotechnology, Dept. of Biotechnology, Faculty of Advanced Sciences and Technologies, University of Isfahan, Isfahan, Iran, ORCID: 0000-0002-6829-870X

3- PhD Student of Nanobiotechnology, Dept. of Biotechnology, Faculty of Advanced sciences and Technologies, University of Isfahan, Isfahan, Iran, ORCID: 0000-0002-8525-5445
(Corresponding Author) Tel: (031) 33448835, Fax: (031) 33448835, E-mail: Mokhtar.nosrati@ast.ui.ac.ir